







Des glaçures de l'Antiquité aux glaçures de la Renaissance Un voyage dans le temps et l'espace

D. Caurant¹, A. Bouquillon², O. Majérus¹, G. Wallez¹

E. Beauvoit^{1,2}, L. Boutenègre^{1,2}



² Centre de Recherche et de Restauration des Musées de France (C2RMF) Paris







Journées USTV 2025

1

Des glaçures partout autour de nous...



Des glaçures partout autour de nous...

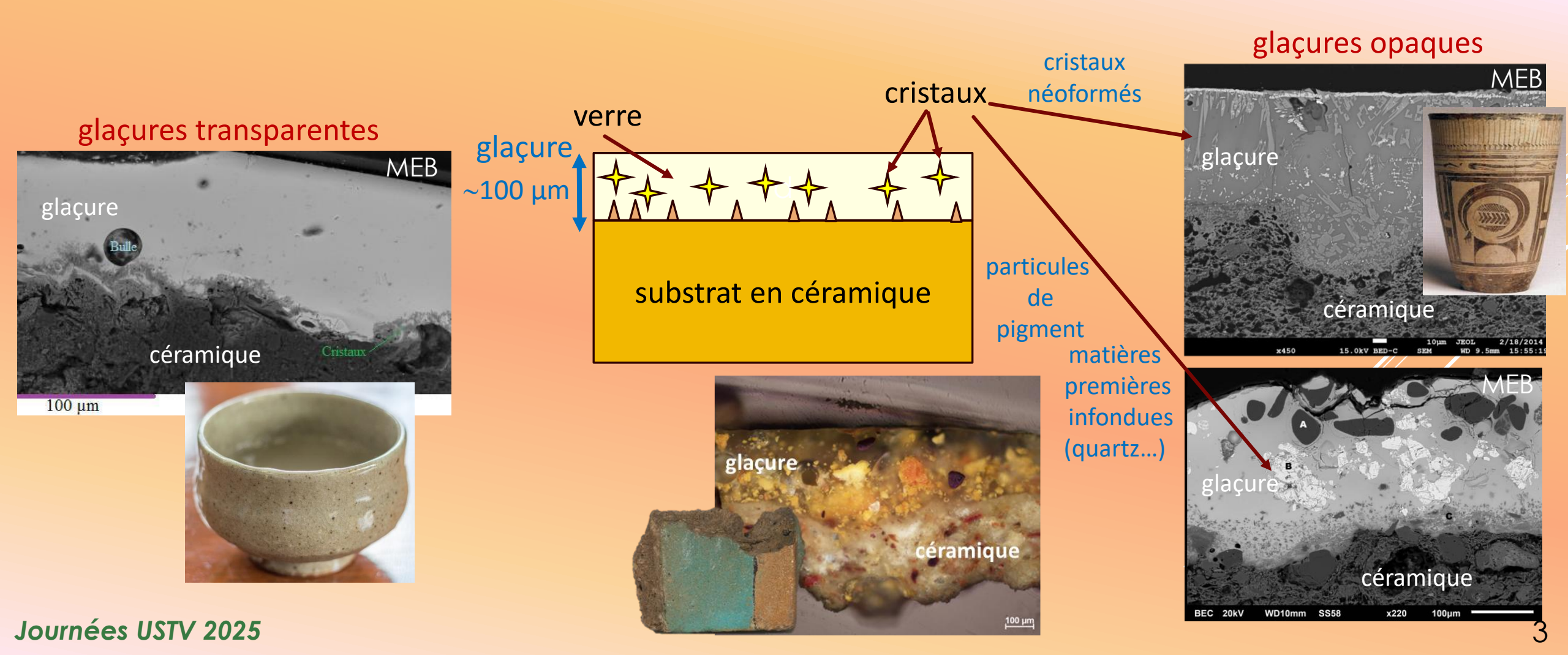


Journées USTV 2025

Comment peut-on définir une glaçure?

Une fine couche de verre (~ 100-400 µm) très fusible (silicate alcalin ou plombifère) renfermant ou non des phases cristallines déposé à la surface d'un substrat en céramique.

On parle de glaçures alcalines / plombifères suivant le type de fondant

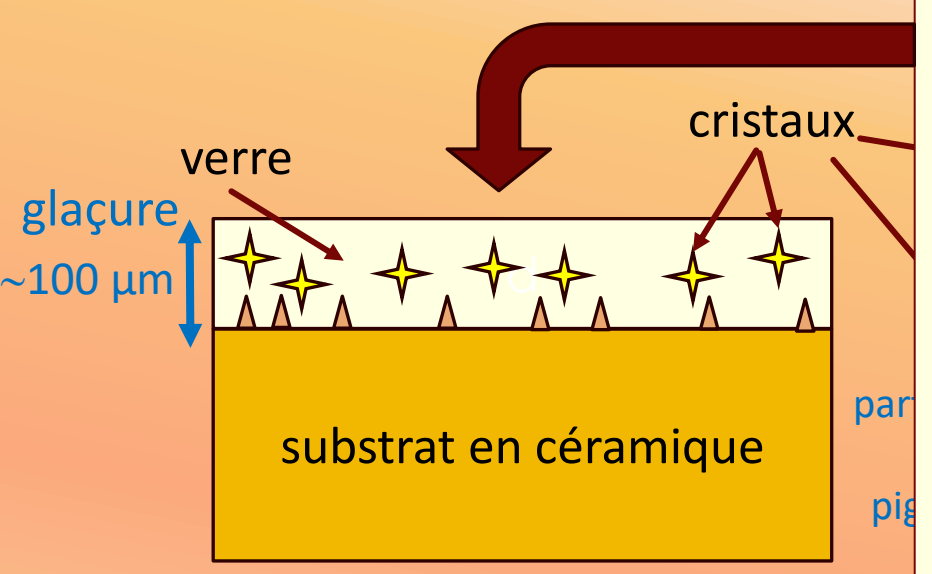


Comment peut-on définir une glaçure?

Une fine couche de verre (~ 100-400 µm) très fusible (silicate alcalin ou plombifère) renfermant ou non des phases cristallines déposé à la surface d'un substrat en céramique.

On parle de glaçures alcalines / plombifères suivant le type de fondant







phénomène de tressaillage

Méthodes de préparation

1/Dépôt sur une céramique cuite (rarement crue) d'une poudre finement broyée en suspension aqueuse (trempage, pulvérisation, dépôt au pinceau)

- Fritte de verre (colorée ou non) + pigments et/ou agents colorants, opacifiants
- Matières premières (sable, agents fondants) + pigments et/ou agents colorants, opacifiants

2/ Cuisson (air, atmosphère contrôlée) + refroidissement +/- lent dans le four

Les céramiques glaçurées du patrimoine...







Quelles questions se posent?

- → Nature des glaçures (composition, microstructure, origine des couleurs et de l'opacité...) ?
- → Conditions et méthodes de fabrication (matières premières, paramètres de cuisson...) ?
- → Comparaison entre différentes productions ?

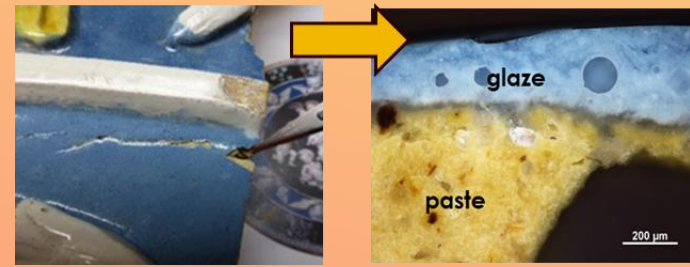
Comment y répondre?

Méthode d'étude en 2 étapes

Méthode d'étude en 2 étapes

Etape 1

Approche archéométrique Caractérisation et analyse d'objets (ou de fragments) de céramiques glaçurées (musées, fouilles archéologiques)



Composition + microstructure

Etape 2

Approche expérimentale par synthèse de répliques de glaçures en laboratoire (sur substrat céramique ou non) + caractérisations

Analyses non-destructives (surface)

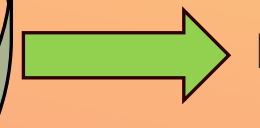
(XRF, PIXE-PIGE (accélérateur Louvre), Raman...)

Informations limitées :

Risques d'altération et/ou contamination surface

Analyses d'échantillons millimétriques

(lorsque c'est possible)
composition verre + phases cristallines
(MEB-EDX, EPMA, DRX, Raman...)
Profils de concentration
(réactivité glaçure/ surface céramique)

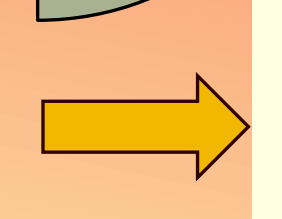


Hypothèses sur les procédés de fabrication

Variation de la nature du mélange glaçurant et des conditions de synthèse

(composition de la fritte de verre, des colorants, des pigments..., température et atmosphère de cuisson, vitesse de refroidissement...)

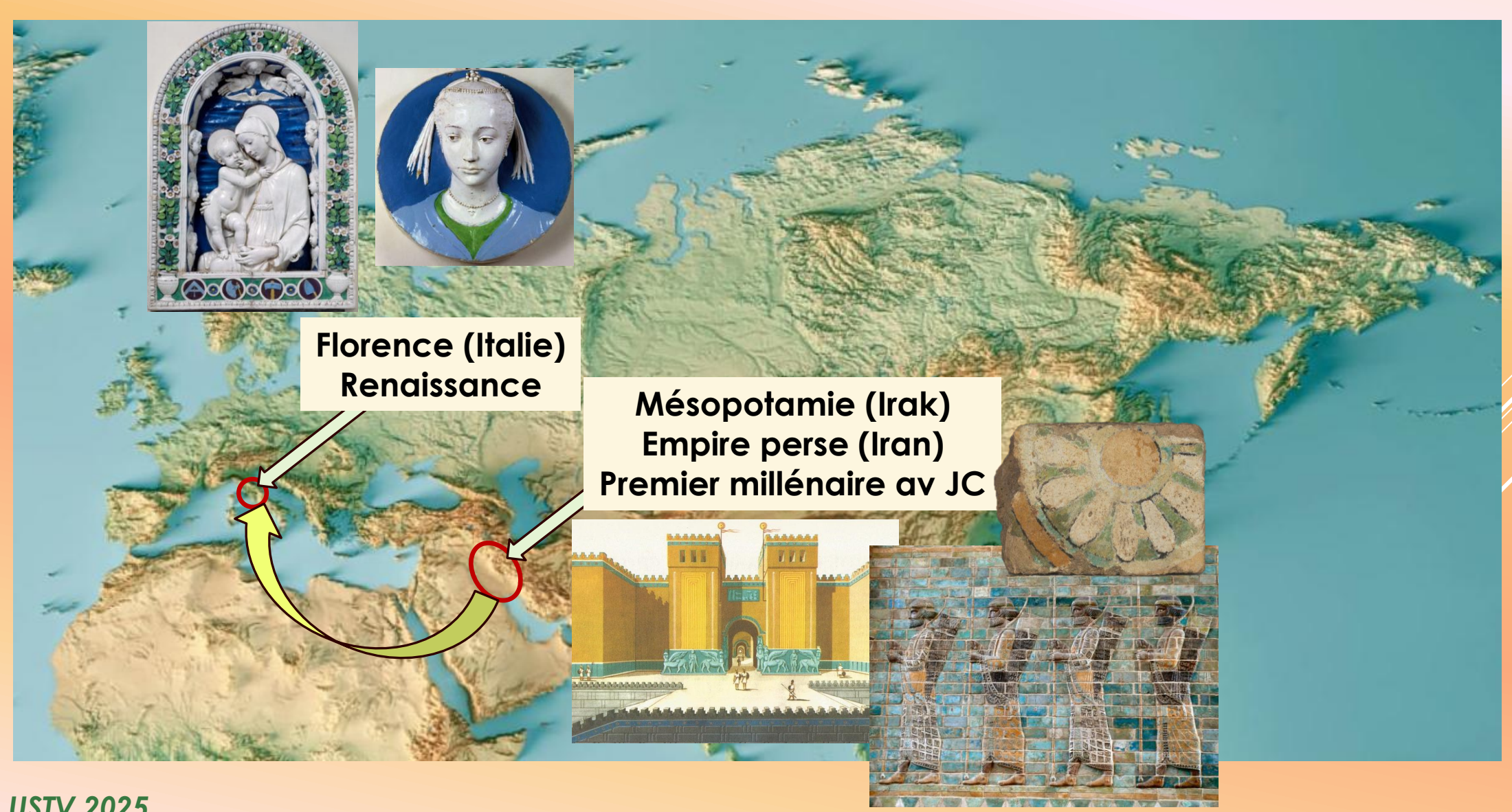
Impact sur la microstructure des glaçures répliques (caractérisation multi-techniques)



Comparaison

Journées USTV 2025

Des glaçures de l'Antiquité à celles de la Renaissance A la recherche des procédés d'élaboration...













Les briques glaçurées architecturales monumentales au Moyen-Orient durant l'antiquité (1^{er} millénaire avant JC)



Emmie Beauvoit (post-doctorat 2021-2023)

Collaborations

Y. Coquinot

Centre de Recherche et de Restauration des Musées de France (C2RMF)

J. Cuny, A. Thomas

Département des Antiquités Orientales, Louvre, Paris

Empire neo-Assyrien Khorsabad (Iraq), 8^{ème} siècle av JC (palais du roi Sargon II)





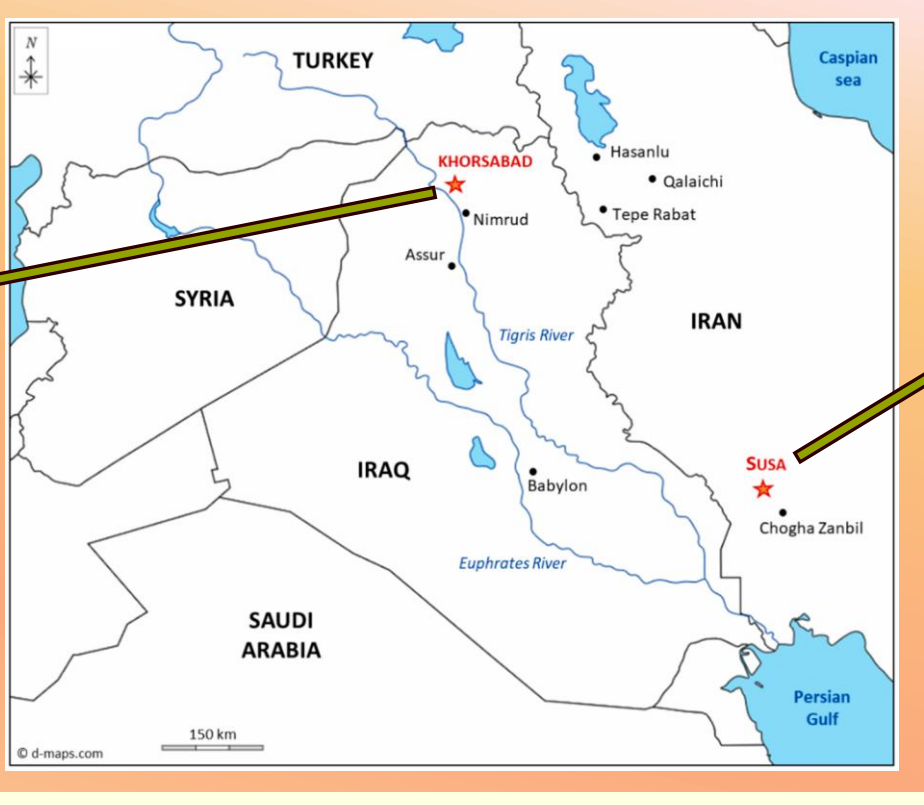






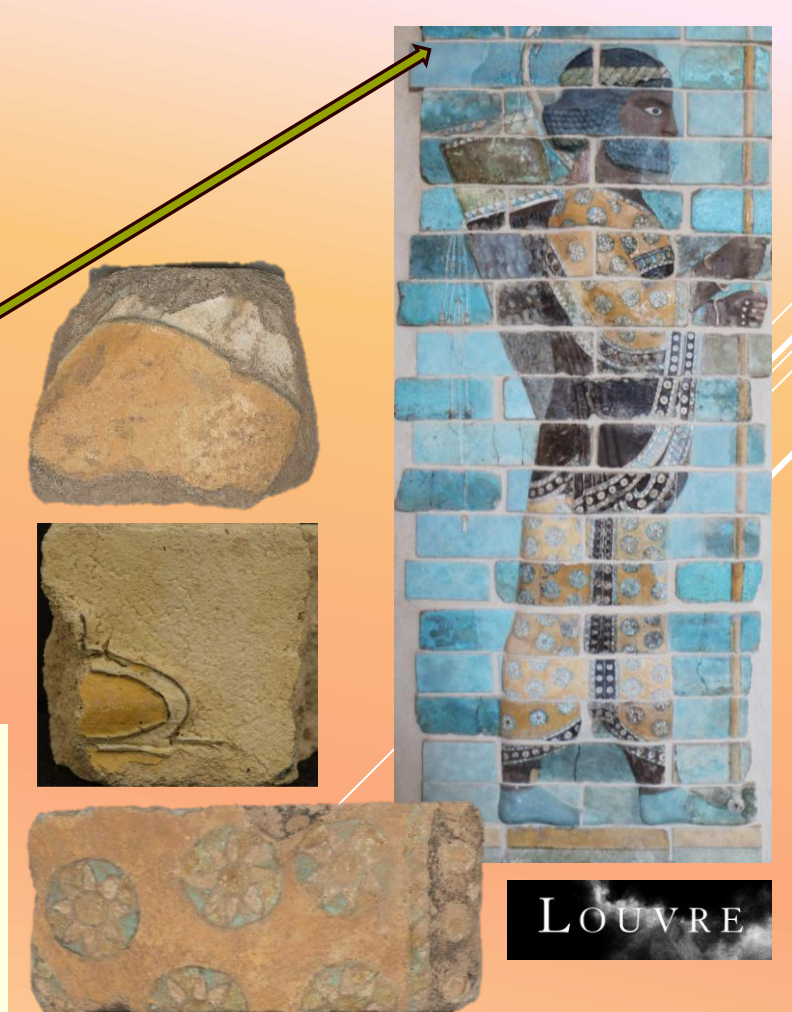


Khorsabad et Suse



Comprendre l'origine de la coloration et les procédés de fabrication des glaçures jaune-orange et noires

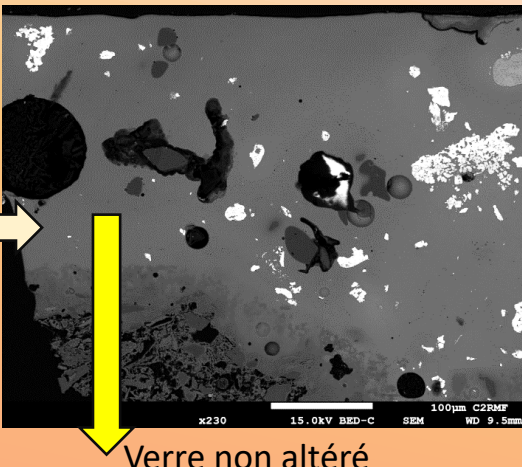
Empire perse Achéménide Suse (Iran), 6^{ème} siècle av JC (palais du roi Darius 1st)



Les glaçures jaune-orange

Etude archéométrique (prélèvements)

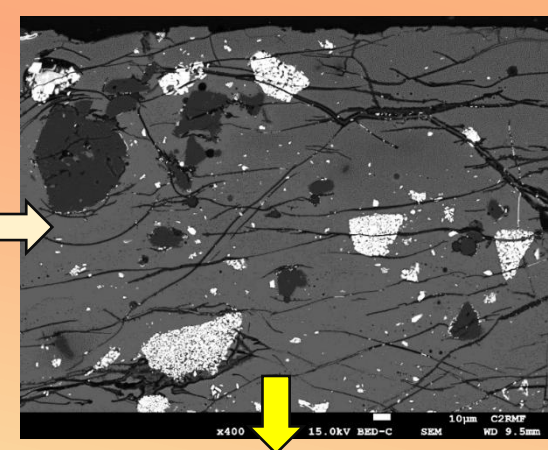
glaçure céramique **MEB-EDX**



(plus de 16 masse % $Na_2O + K_2O$)



F. Alloteau et al. Minerals 12 (2022) 311

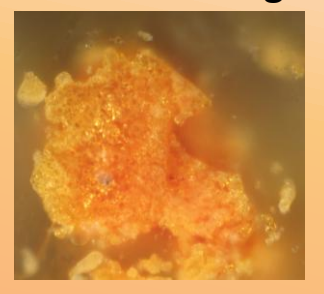


Verre fortement altéré (moins de 1 masse% $Na_2O + K_2O$)

Phases identifiées (EDX, Raman, DRX)

Principalement des antimoniates de Pb subsitués $Pb_2Sb_2O_7 \rightarrow (Pb,Ca)_2(Sb,Fe)_2O_7$ Structure pyrochlore (très souple)

Inclusions orange



Substitution partielle de Sb par Fe (Pb,Ca)₂(Sb_{2-x}Fe_x)O_{7-x}



Inclusions jaunes



Substitution partielle de **Pb** par **Ca** (**Pb**_{2-x}**Ca**_x)**Sb**₂**O**₇

Dispersion très inhomogène d'agglomérats + forme irrégulière non-géométrique des cristaux

→ Le pigment a été préparé ex-situ lors d'une première étape puis a été ajouté à une fritte de verre (ou à un mélange de matières premières) avant cuisson



Etude comparative des techniques de coloration Khorsabad / Suse Les glaçures jaune-orange

Analyses EDX (masse%): Composition chimique moyenne de la phase vitreuse des glaçures de Khorsabad

Principaux oxydes du verre

Pigments

	Glaçure	SiO ₂	Na₂O	MgO	K ₂ O	CaO	Al ₂ O ₃	TiO ₂	CI	Fe ₂ O ₃	PbO	Sb ₂ O ₃	CuO	SO ₃
	Noire	69.9	14.0	2.5	3.5	5.1	1.4	0.2	0.3	0.5	0.5	0.4	0.15	0.75
	Jaune/Orange	66.7	13.2	2.2	2.9	3.4	0.9	-	0.6	2.7	5.9	1.3	-	0.2
	Blanche	66.8	14.5	3.4	3.3	6.3	2.8	< Id	< ld	0.7	-	1.5	-	
	Verre Mesopotamien	66.3	16.1	4.2	2.9	6.5	0.5	0.02	0.9	0.2	0.0	0.3	1.5//	0.2

A.J. Shortland, K. Eremin, Archaeometry 48 (2006) 581 (~ 14ème siècle av. JC, composition moyenne de 22 verres bleus de Nuzi)

→ Phases vitreuses sodo-calciques de compositions proches pour toutes les couleurs de glaçures



Une même fritte de verre (ou un même mélange vitrifiable) a été utilisée pour tous les types de glaçures + ajout de pigments (preparés ex-situ) + cuisson sur briques

Les glaçures jaune-orange

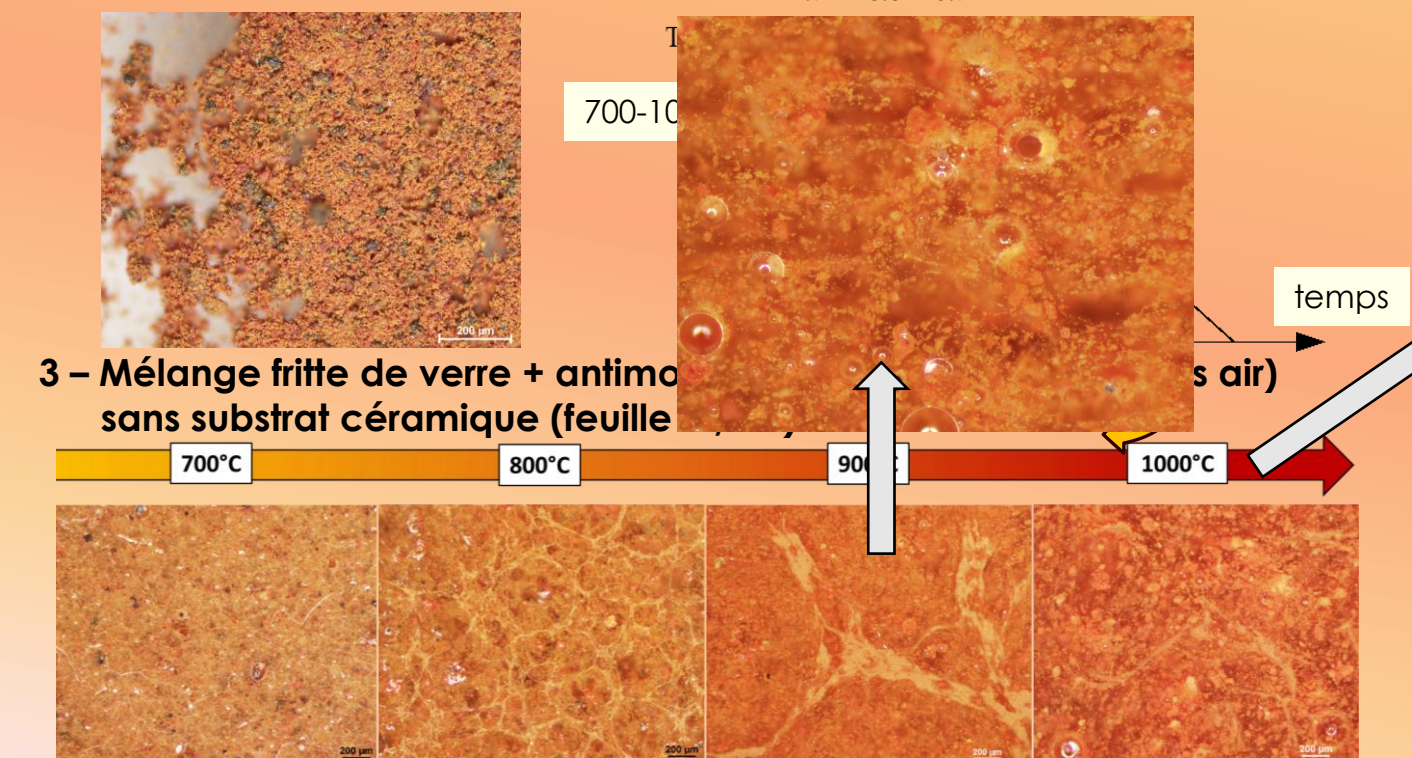
Etude archéométrique (prélèvements) Atmosphère de cuisson des glaçures sur les briques **MEB-EDX K**HORSABAD \$b⁵⁺ μ-XANES (ID21, ESRF) seuil Sb L_1 (2 x 2 μ m²) céramique **Sb**³⁺ **S**USE Energy (kev) Sb principalement présent sous la forme Sb⁵⁺ dans les glaçures → Cuisson des glaçures sous air

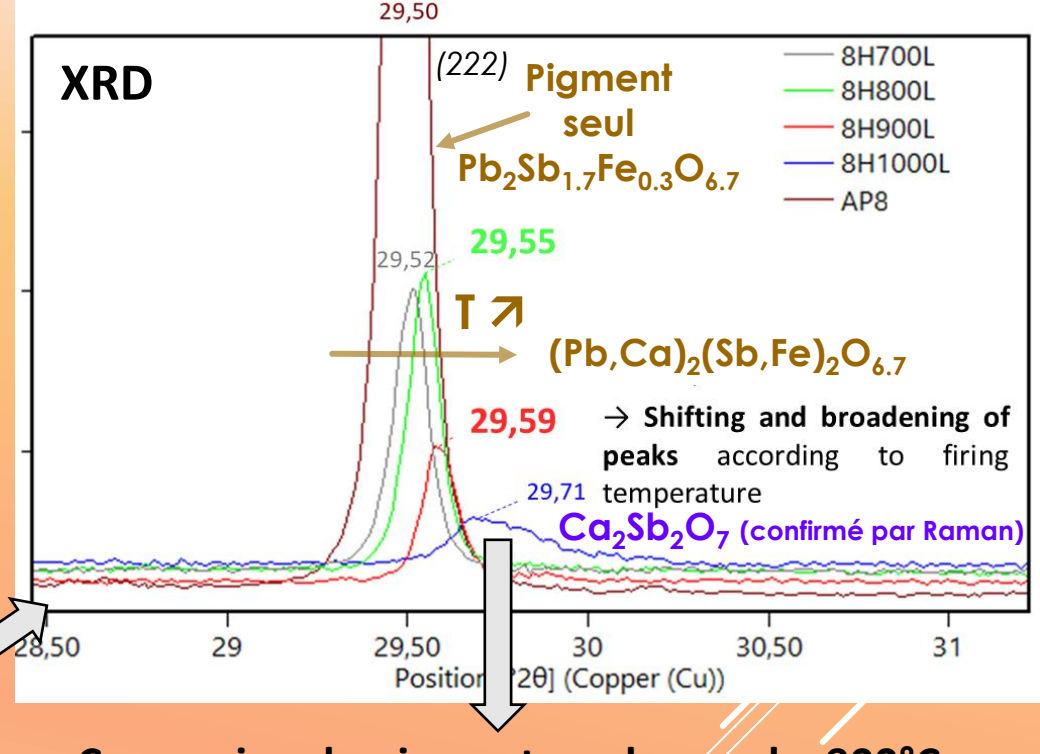
Les glaçures jaune-orange

Synthèses laboratoire (répliques pour Khorsabad): fritte de verre + pigments (antimoniates Pb) -> glaçures



2 – Synthèse d'antimoniate de Pb : $Pb_2Sb_{1.7}Fe_{0.3}O_{6.7}$ (T = 800°C, air)





Conversion du pigment au-dessus de 900°C

 $Pb_2Sb_2O_7 + CaO_{(verre)} \rightarrow Ca_2Sb_2O_7 + PbO_{(verre)}$ G. Molina et al. J. Archaeol. Sci. 41 (2014) 171

→ Cuisson des glaçures réalisée à T < 1000°C

Les glaçures jaune-orange Proposition d'un procédé de fabrication **Khorsabad Cuisson (T < 1000°C)** fritte de verre sous air (ou mélange de matières premières) pigment brique Pb₂(Fe,Sb)₂O₇ brique Suse

Glaçures noires de Suse

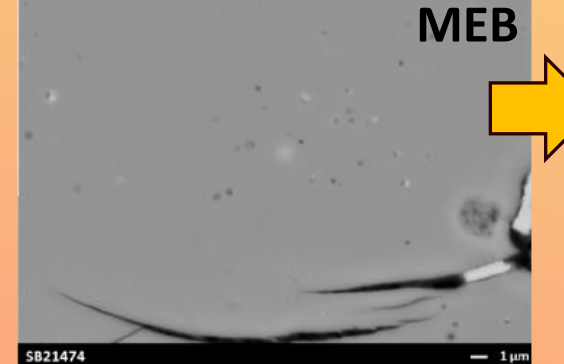




Etude archéométrique (prélèvements)

Aplats noirs





EDX

Coloration dans la masse (3 masse% MnO et 0,5 masse% Fe₂O₃)

Coloration ionique: Mn³⁺ (3d⁴)

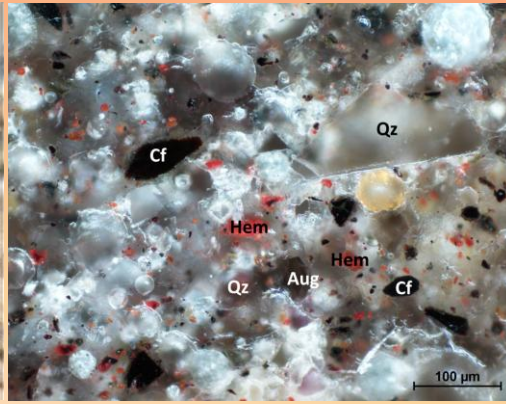
Méthode de coloration des verres en noir

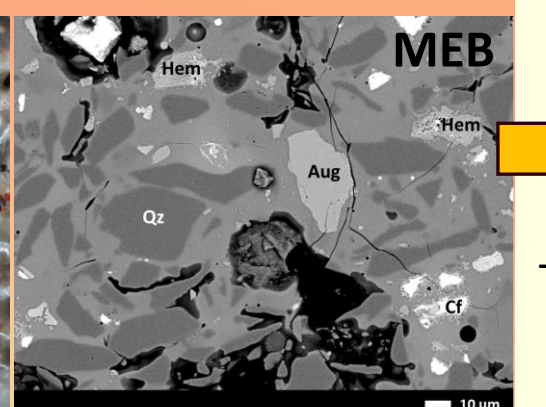
bien connue dans l'antiquité

EDX, DRX, Raman

Lignes séparatrices noires







E. Beauvoit et al. Heritage 6 (2023) 6291

E. Beauvoit et al. Technè 55 (2023) 75

Coloration avec des inclusions noires et rouges

Ferrite de cobalt (CoFe₂O₄)

Hématite (Fe₂O₃)

Augite (Ca,Mg,Fe,Al)₂(Al,Si)₂O₆

+ ajout fritte de verre (ou mélange vitrifiable)

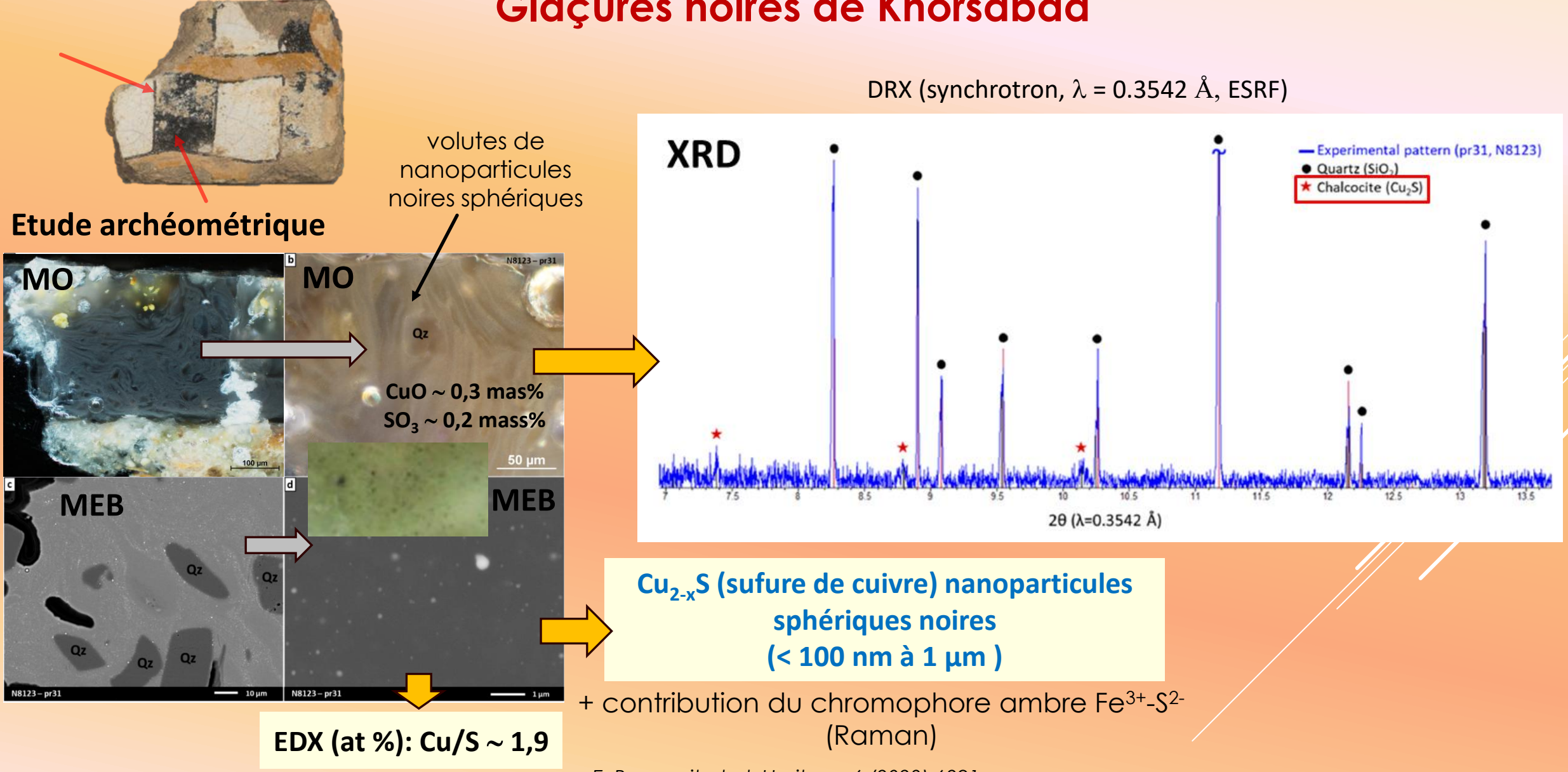
avant cuisson

+ gros cristaux de quartz

⇒ Augmentation de la viscosité apparente

Etude comparative des techniques de coloration Khorsabad / Suse Glaçures noires de Suse Proposition d'un procédé de fabrication Suse Cuisson (T < 1000°C) sous air fritte de verre (ou mélange de matières premières) brique brique pigment noir $CoFe_2O_4 + Fe_2O_3 +$ (Ca,Mg,Fe,Al)₂(Al,Si)₂O₆ + cristaux de quartz **Cuisson (T < 1000°C)** sous air fritte de verre noir (Mn^{3+}) (Mn^{3+}) brique brique

Glaçures noires de Khorsabad

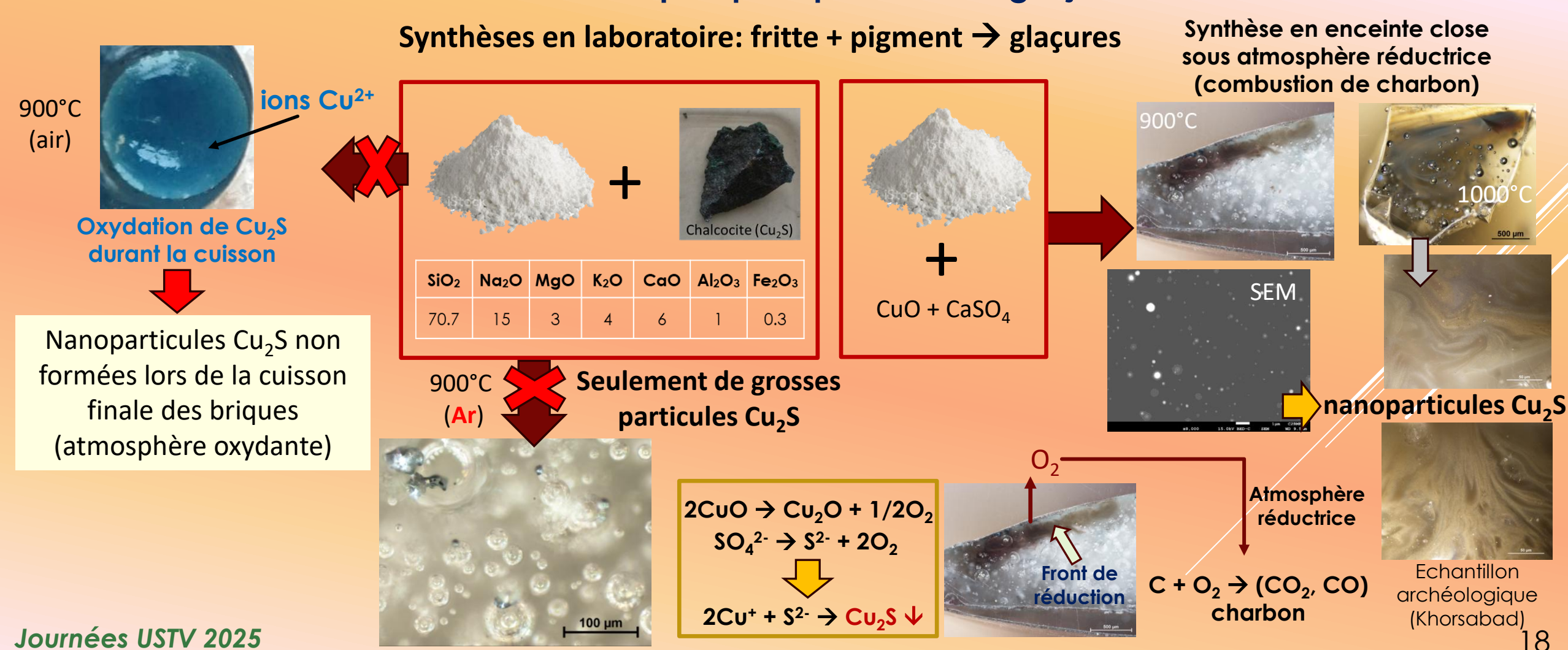


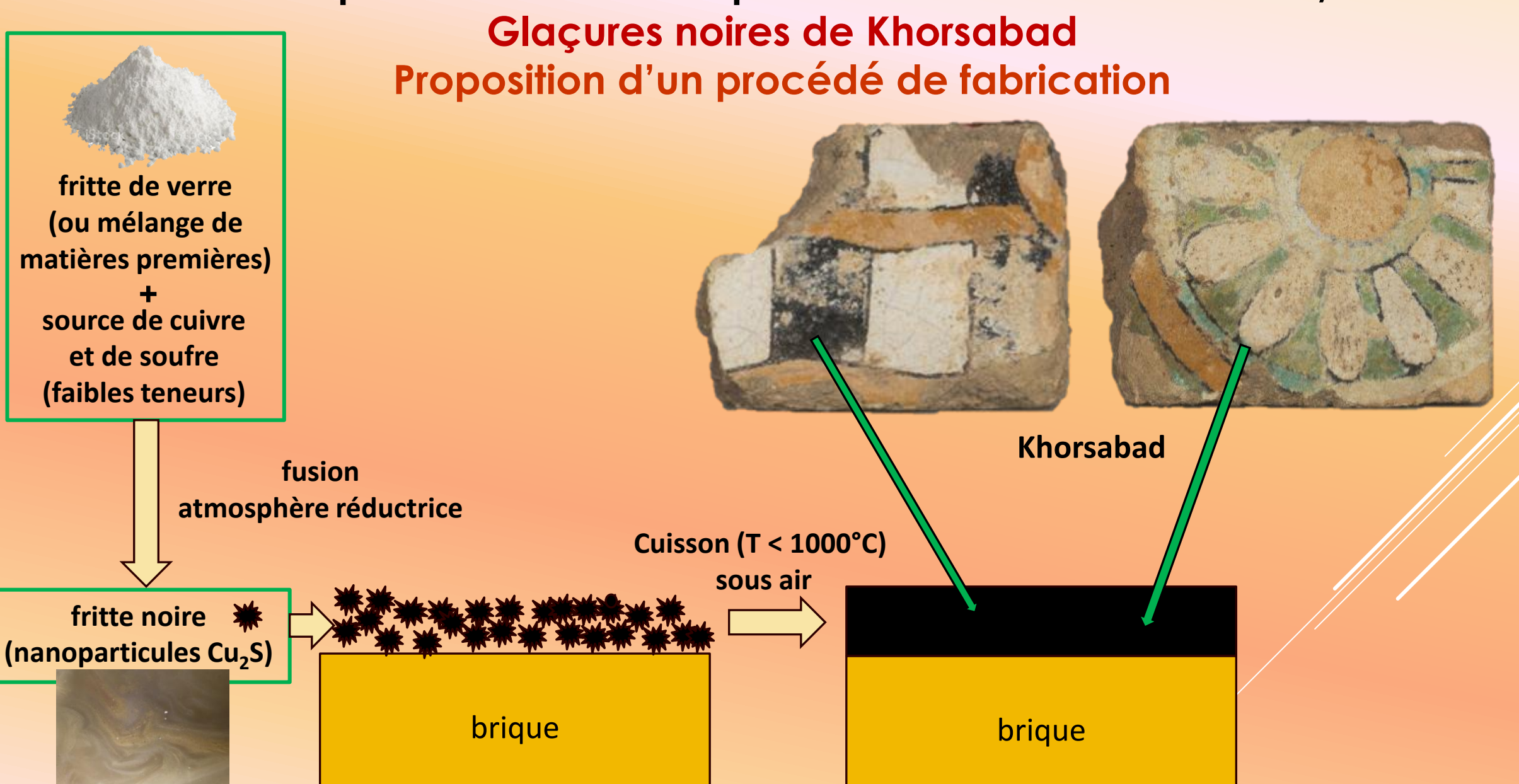
E. Beauvoit et al. Heritage 6 (2023) 6291

E. Beauvoit et al. Technè 55 (2023) 75

Réplique des glaçures noires de Khorsabad

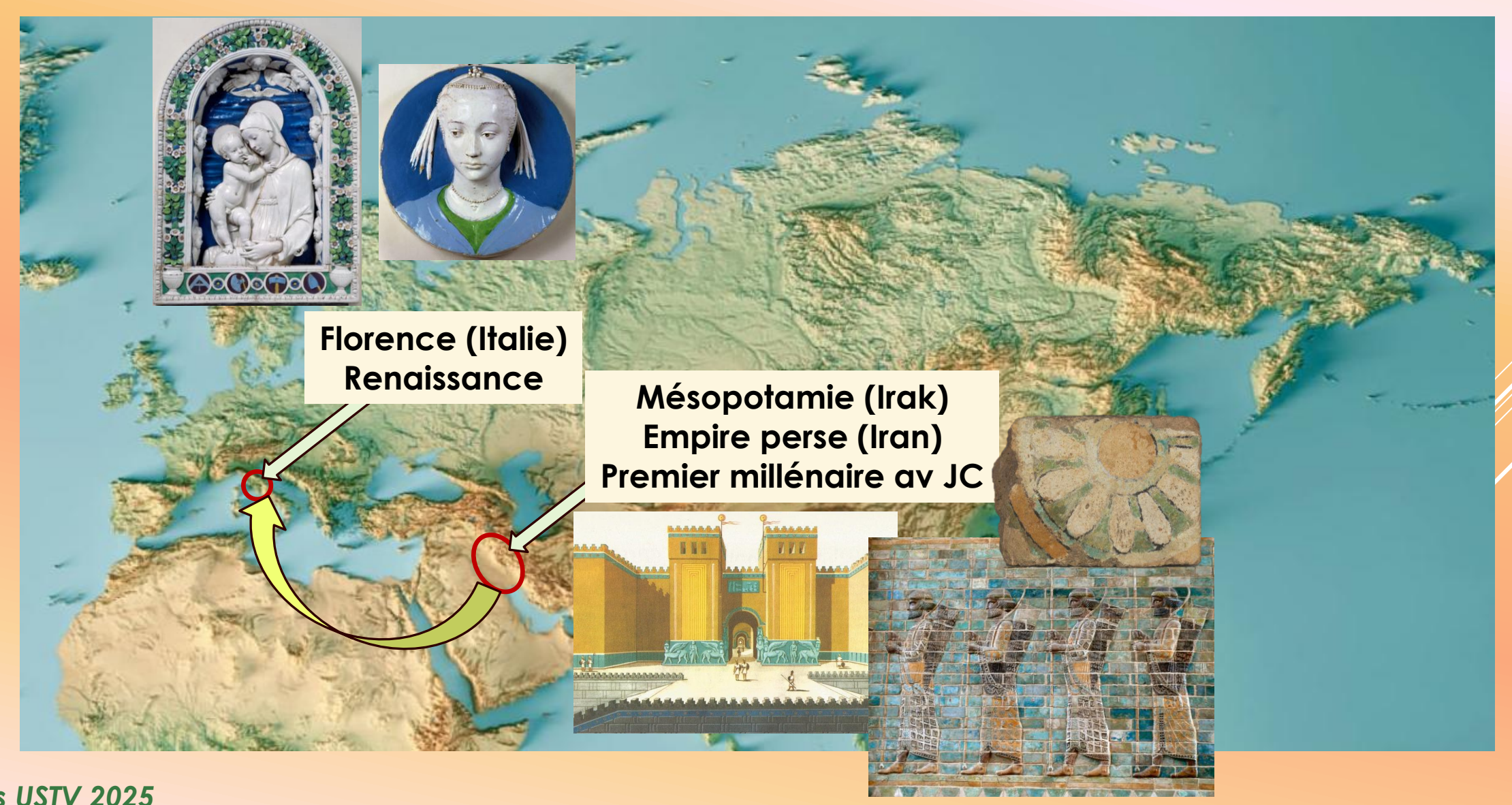
- → Nature des matières premières pour former les nanoparticules Cu₂S ?
- → Conditions thermochimiques pour produire les glaçures noires ?





Journées USTV 2025

Des glaçures de l'Antiquité à celles de la Renaissance A la recherche des procédés d'élaboration...





Les glaçures opacifiées à l'oxyde d'étain (SnO₂) sur sculptures en terre cuite : La production de la famille Della Robbia





Collaborations

Y. Coquinot

Centre de Recherche et de Restauration des Musées de France (ÇŹŔMF)

F. Barbe

Département des Objets d'art, Louvre, Paris

A. Gerbier

Musée National de le Renaissance, Ecouen

(thèse démarrée en 2023)

Lise Boutenègre



Journées USTV 2025

Utilisation de SnO₂ (cassitérite) comme pigment blanc et opacifiant dans les glaçures

Période Egypte ancienne Empire romain Moyen Age Renaissance moderne 16^{ème} av. JC 5^{ème} ap. JC 14^{ème} ap JC 17^{ème} ap JC 1er av. JC Ca₂Sb₂O₇ CaSb₂O₆ NaSbO₃ SnO₂ Ca₂Sb₂O₇ CaSb₂O₆ **Opacifiants** blancs M. Matin, Archaeol. Antropol. Sci. 11 (2019)1155 M. Tite et al. Archeometry 50 (2008) 67 8-9^{ème} ap. JC 13-14^{ème} ap. JC **Glaçures** (Egypte, Moyen Orient) (Espagne, Italie) Renaissance italienne alcalines Sculptures en terre cuite Majoliques italiennes émaillées **Glaçures** (atelier Della Robbia) Ca₂Sb₂O₂ alcalino-plombifères Khorsabad (Irak) 15ème - 16ème 8ème av JC Iran Italie

Mieux comprendre le procédé d'opacification à l'oxyde d'étain des Della Robbia

Italie

L'atelier des Della Robbia (1441 – 1529)

Luca Della Robbia (1399-1482): le fondateur de l'atelier à Florence

- Bien connu comme sculpteur sur marbre
- Invention des sculptures en terre cuite opacifiées avec SnO₂ (~ 1441)

 Gros objets recouverts de glaçures opaques blanche

 (imitation du marbre) ou colorées

Son neveu: Andrea Della Robbia (1435-1525)

G. Della Robbia

(NGA, Washington)



5 fils: Marco (1468-1529), **Giovanni** (1469-1529), **Luca** (1475-1548) Francesco (1477-1528), **Girolamo** (1488-1556)





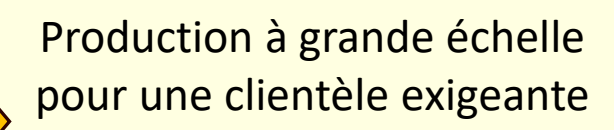
L. Della Robbia (M. Opera del Duomo, Florence)

A. Della Robbia (M. Bargello, L. Della Robbia (C. San Giovanni

Fuorcivitas, Pistoia)



A. Della Robbia (MMA, New York)

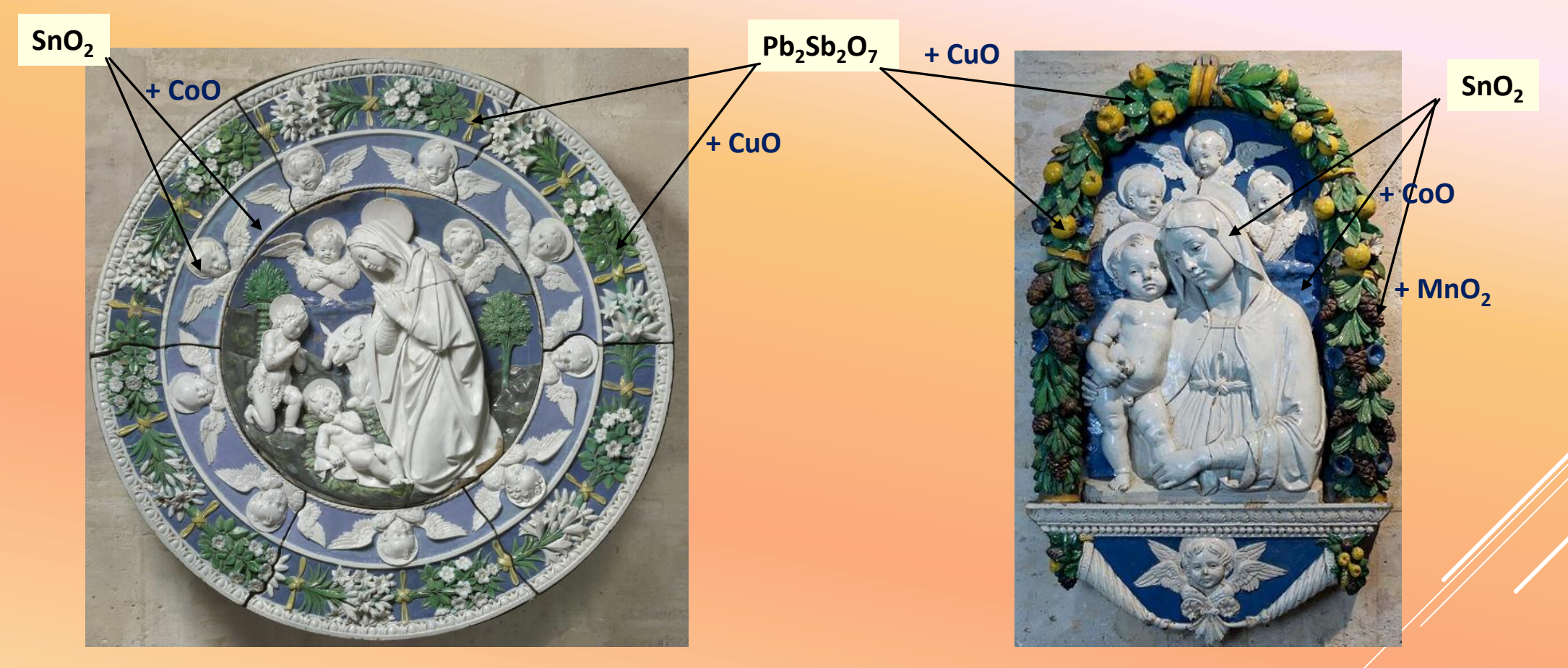


⇒ 1527 épidémie de peste

Aujourd'hui, de nombreux objets sont exposés dans des musées à travers le monde (Europe, Amérique du Nord)



La production de l'atelier Della Robbia (1441 – 1529)

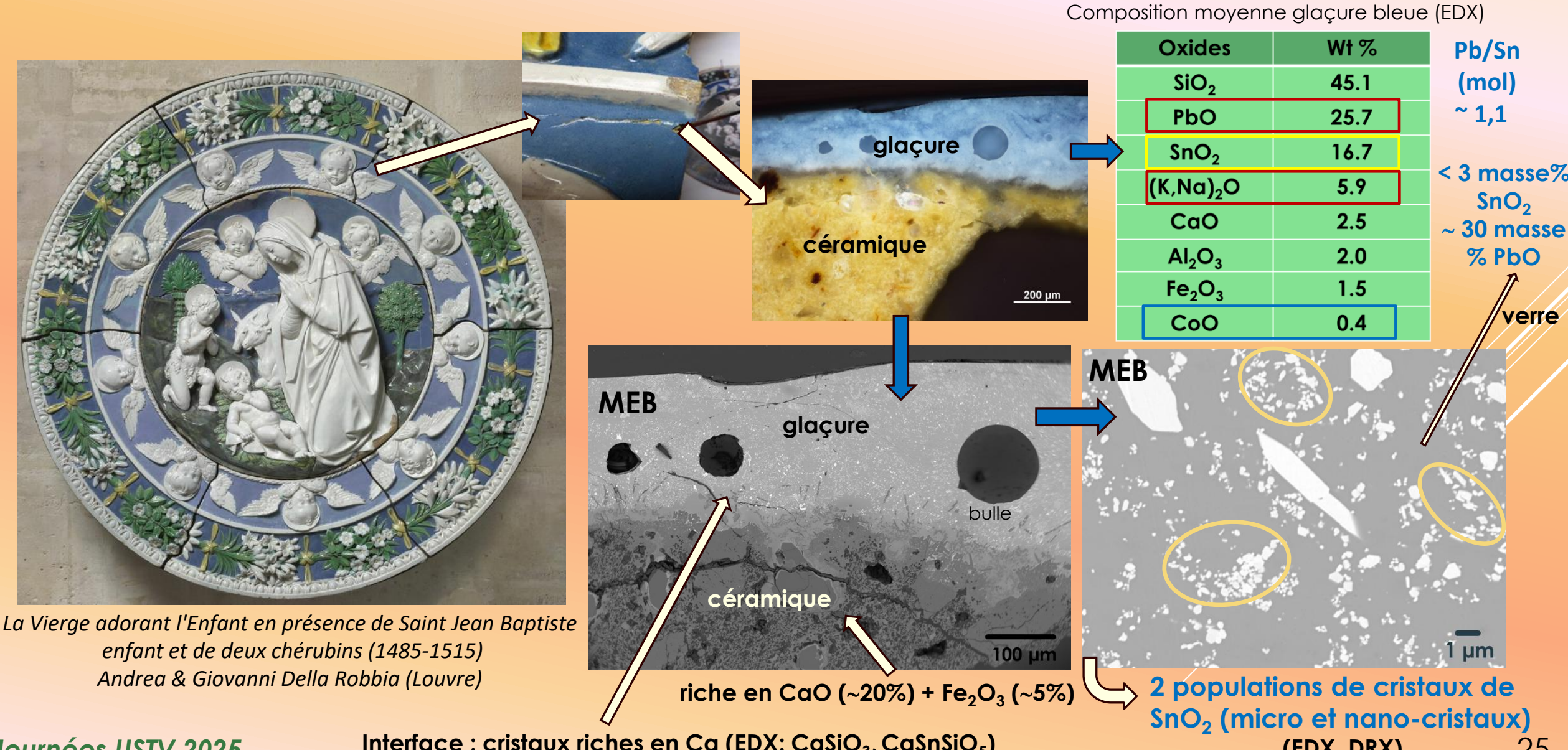


La Vierge adorant l'Enfant en présence de Saint Jean Baptiste enfant et de deux chérubins (1485 - 1515) (diamètre 1,31 m) Andrea & Giovanni Della Robbia (Louvre)

La Vierge et l'Enfant avec trois chérubins (~ 1475-1500) (dimension 0,9 m x 0,73 m) Andrea Della Robbia (Louvre)

Journées USTV 2025 24

La production de l'atelier Della Robbia (1441 – 1529) Etude des objets de musées



Journées USTV 2025

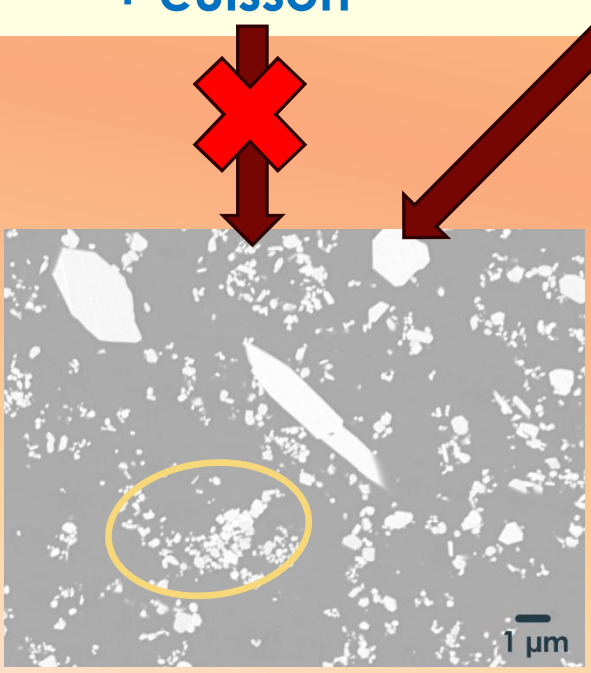
Interface: cristaux riches en Ca (EDX: CaSiO₃, CaSnSiO₅)

(EDX, DRX)

La production de l'atelier Della Robbia (1441 – 1529) Approche expérimentale des procédés de fabrication

2 procédés d'opacification peuvent être envisagés

Ajout de particules de SnO₂ à une fritte de verre alcalino-plombifère (ou à mélange de matières premières) + cuisson



Génération in-situ de nanoparticules de SnO₂ dans la glaçure durant la cuisson (précurseur à base de SnO₂ + PbO + fritte alcaline)

En accord avec les textes anciens du Moyen Age et de la Renaissance

1/ Calcination du mélange de métaux Pb + Sn → Calcine (mélange intime d'oxydes)

2/ Cuisson calcine + fritte de verre sur un substrat en céramique → Glaçures opacifiés avec des particules de SnO₂

Réplique en laboratoire des glaçures des Della Robbia

Textes anciens sur l'opacification à l'oxyde d'étain

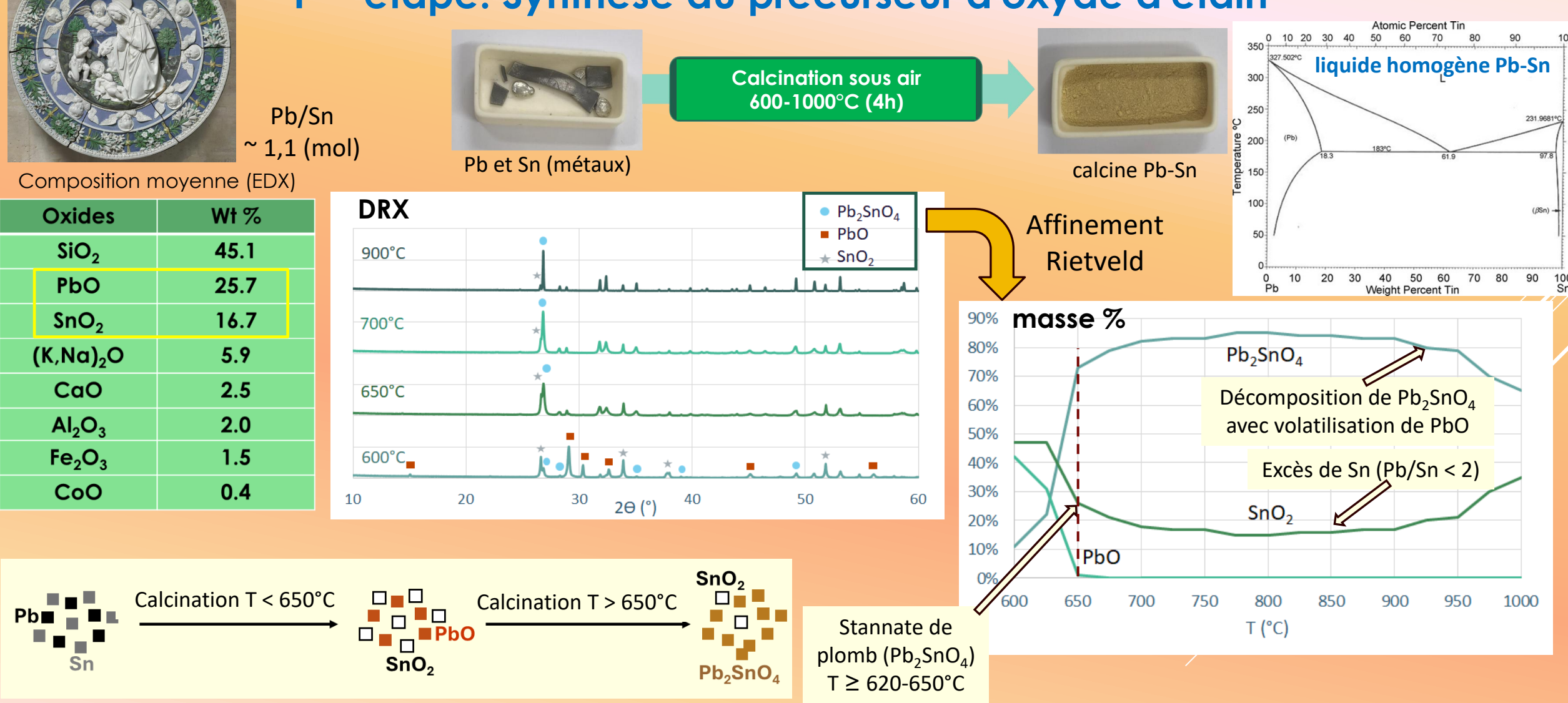
Traité perse d'Abul'l Kasim (1301)

Littérature italienne Renaissance sur les glaçures (majoliques): Picolpasso (1548) Li Tre Libri dell'Arte del Vasaio (The Three Books of the Potter's Art)



La production de l'atelier Della Robbia (1441 – 1529) Approche expérimentale des procédés de fabrication

1ère étape: Synthèse du précurseur d'oxyde d'étain



La production de l'atelier Della Robbia (1441 – 1529) Approche expérimentale des procédés de fabrication

2ème étape: Opacification des glaçures (calcine + fritte)

PbSnO₂

1200°C

1100°C

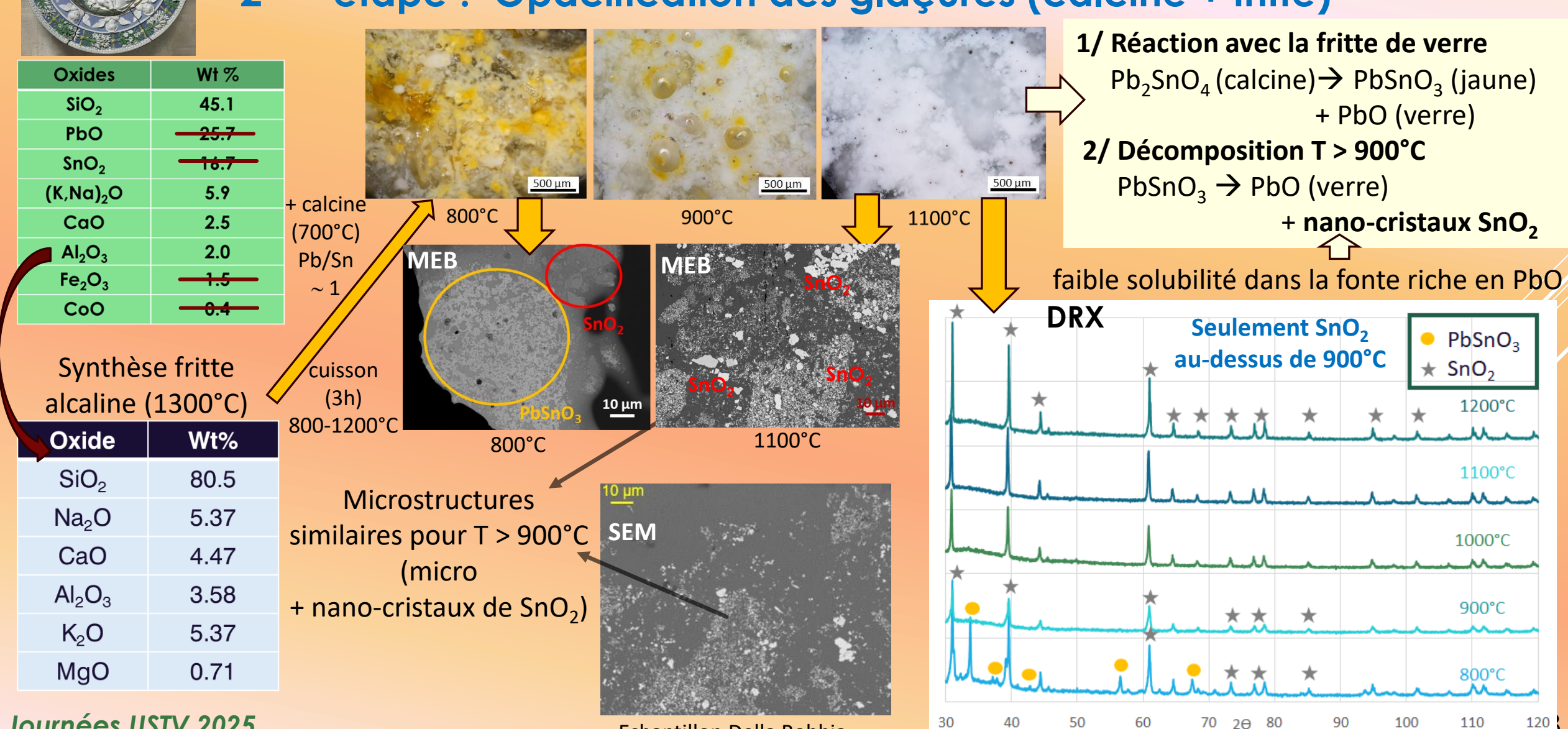
1000°C

900°C

800°C

110

★ SnO₂



Echantillon Della Robbia

Journées USTV 2025

La production de l'atelier Della Robbia (1441 – 1529)

Proposition d'un procédé de fabrication



Journées USTV 2025



MERCI POUR VOTRE ATTENTION

TRUGAREZ VRAS DEOC'H







